COLLES DE PHYSIQUE - MPI - 2025-2026

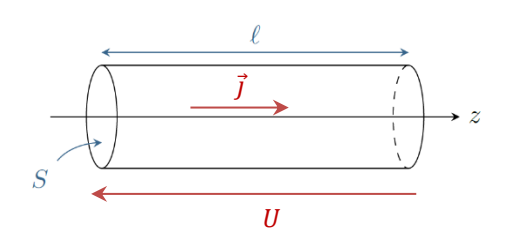
Colle N°8 – Semaine pronote N°12 : 17 au 21 Novembre 2025

Au programme des exercices

- → Chapitre CHIM.2: Titrages acido-basiques (pas d'exercice acide-base sans titrage)
- → Chapitre EM2 : Conduction électrique : Vecteur densité de courant, équations de conservation de la charge, globale et locale, Modèle de Drüde et loi d'Ohm locale, forme intégrale de la loi d'Ohm, résistance d'un conducteur cylindrique, effet Joule à l'échelle mésoscopique.
- → Chapitre EM1 partie 2 : Conducteurs à l'équilibre condensateurs : Conducteur en équilibre électrostatique
 modélisation électrostatique d'un condensateur, énergie électrostatique.

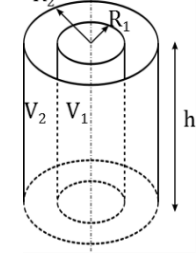
Questions de cours seules

- 1. Etablir l'équation locale de conservation de la charge dans le cas à une dimension cartésienne.
- 2. Dans le cadre du modèle de Drüde, les charges libres de masse m, de charge q, peuvent se mouvoir dans le conducteur sous l'action du champ \vec{E} en subissant une force de type frottement fluide $\vec{f} = -\frac{m}{\tau} \vec{v}$. Etablir l'équation différentielle vérifiée par la vitesse \vec{v} de l'électron moyen. En régime permanent, tous les porteurs de charge ayant la même vitesse \vec{v}_{lim} , avec une densité n de porteurs, établir la loi d'Ohm locale et indiquer l'expression de la conductivité du matériau.
- 3. Dans le cadre du modèle de Drüde, les charges libres de masse m, de charge q, peuvent se mouvoir dans le conducteur sous l'action du champ \vec{E} en subissant une force de type frottement fluide $\vec{f} = -\frac{m}{\tau} \vec{v}$. Dans le cas d'un champ électrique sinusoïdal imposant un régime sinusoïdal forcé, On applique au métal un champ électrique alternatif de pulsation $\omega = 2\pi f$ de la forme $\vec{E} = \vec{E}_0 e^{j(\omega t + \varphi)}$ et on étudie la conduction électrique qui en résulte en régime sinusoïdal forcé établi. Etablir l'expression de la vitesse \vec{v} de l'électron moyen puis celle de la conductivité complexe, et déterminer le domaine de fréquences pour lequel on peut approximer la conductivité complexe par la conductivité statique.
- **4.** Considérons un conducteur ohmique cylindrique de section S et de longueur ℓ , de conductivité électrique γ , parcouru par un courant d'intensité i selon l'axe (Oz) du cylindre, associé à une densité volumique de courant électrique $\vec{j}=j\vec{e}_z$ uniforme dans l'ensemble du conducteur. On définit la tension U en convention récepteur, soit $U=V(z=0)-V(z=\ell)$.



- a) Établir l'expression de la résistance du conducteur en fonction de ses caractéristiques.
- b) Rappeler dans le cas général l'expression de la puissance volumique électromagnétique reçue par les porteurs de charge; en déduire l'expression de la puissance volumique d'effet Joule dans le cas d'un conducteur ohmique.
- c) **Retrouver la puissance totale reçue par le conducteur cylindrique étudié ci-dessus.
- 5. On souhaite réaliser un filtrage numérique analogue à celui réalisé par un filtre de fonction de transfert $\underline{H} = \frac{1}{1+j\frac{\omega}{\omega_0}}$, la manière la moins coûteuse en temps étant d'exploiter directement dans le domaine temporel l'équation différentielle associée.

- a) \bigvee Décrire le schéma d'Euler explicite nécessaire et le traduire en relation de récurrence. On prendra la période d'échantillonnage T_e comme pas de temps.
- b) Décrire le schéma d'Euler implicite nécessaire et le traduire en relation de récurrence. On prendra la période d'échantillonnage T_e comme pas de temps.
- **6.** On étudie une fonction continue et monotone f(x) qui s'annule une seule fois sur un intervalle [a;b]. Expliquer le principe de l'algorithme de recherche par dichotomie du zéro de cette fonction (valeur x_0 telle $f(x_0) = 0$) et proposer une mise en œuvre en python.
- 7. ** Propriétés d'un conducteur électrostatique à l'équilibre.
- **8.** Etablir l'expression de la capacité d'un condensateur plan idéal constitué de deux plaques conductrices de surface S, séparées d'une distance $e \ll S$ (l'expression du champ créé par un plan infini sera rappelée si besoin).
- 9. **Etablir l'expression de la capacité d'un condensateur plan par une méthode énergétique.
- 10. Un condensateur cylindrique idéal est constitué de deux cylindres concentriques conducteurs, de rayons R_1 et $R_2 > R_1$, et de hauteur h supposée infinie (très grande devant les rayons). L'armature interne porte une charge Q répartie sur la surface du cylindre de rayon R_1 , tandis que l'armature externe porte une charge Q répartie sur la surface du cylindre de rayon R_2 .



Etablir l'expression de la capacité puis de la capacité linéique d'un tel condensateur cylindrique.

- **11.** \heartsuit Rappeler les lois de Laplace et leurs hypothèses d'application. En déduire le travail W reçu au cours d'une compression d'un volume V_1 à un volume V_2 telle que les lois de Laplace s'appliquent (pression initiale P_1 connue).
- 12. Finoncer le second principe de la thermodynamique en détaillant les différents termes
- **13.** Une masse m d'eau passe de l'état solide à -10° C à l'état liquide à $+10^{\circ}$ C sous une pression de 1 atm. Calculer pour cette évolution l'énergie thermique reçue par la masse d'eau.

Données :

Enthalpie de fusion de l'eau : $\Delta_{fus}h = 334 \, kJ. \, kg^{-1}$ à $0^{\circ}C$ sous $1 \, atm$

Capacité thermique massique de l'eau liquide : $c_l = 4,2 \ kJ. K^{-1}. kg^{-1}$ Capacité thermique massique de l'eau solide : $c_s = 2,1 \ kJ. K^{-1}. kg^{-1}$

14. Un ballon d'eau chaude d'un volume de 10,0 m³ contient 169 kg d'eau sous 10,0 bar.

Extrait d'une table donnant les grandeurs massiques pour une vapeur d'eau saturante :

Vapeur d'eau saturante			
P = 10 bar			
$\theta = 179,86^{\circ}C$			

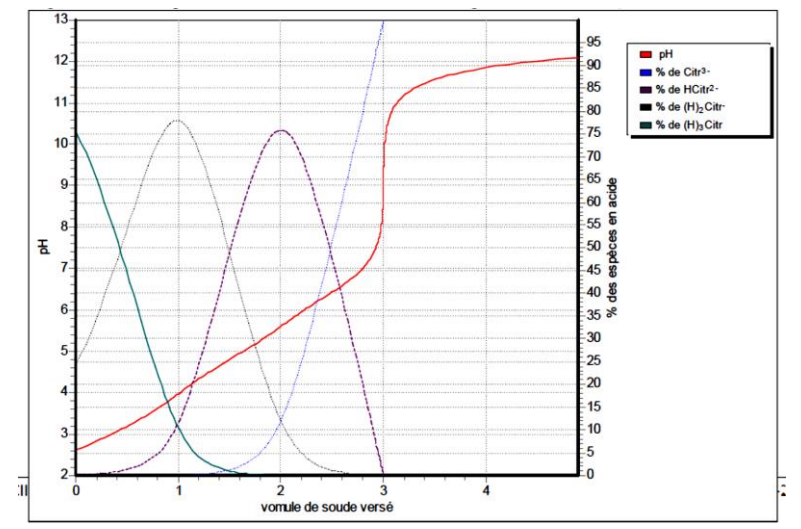
Volume massique		Enthalpie massique		
liquide	vapeur	liquide	vapeur	
$v_l ({\rm m}^3.{\rm kg}^{-1})$	$v_v ({\rm m}^3.{\rm kg}^{-1})$	h_l (kJ. kg ⁻¹)	h_v (kJ. kg ⁻¹)	
$1,127.10^{-3}$	0,1947	761,2	2772	

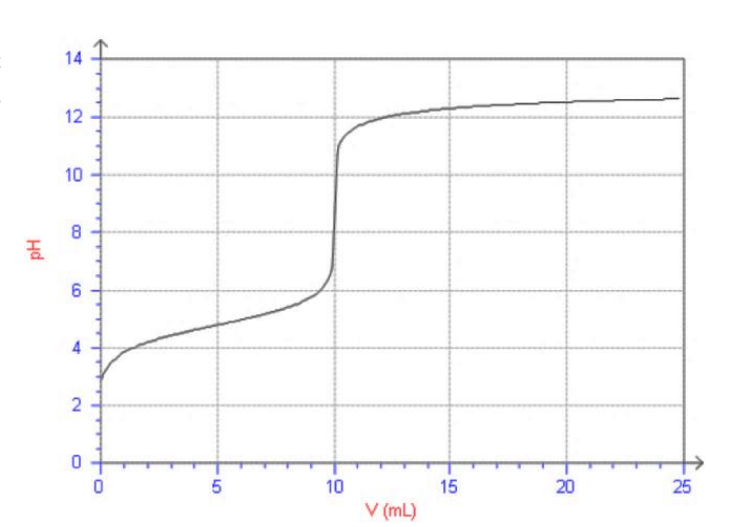
- a) Quel est l'état de l'eau ? On précisera sa pression et sa température, son titre en vapeur et son enthalpie totale.
 - b) Déterminer l'enthalpie de vaporisation de l'eau à $\theta=179,86^{\circ}C$ ainsi que la quantité de chaleur nécessaire pour obtenir de la vapeur juste sèche dans le ballon en restant à une pression de 10,0 bar.
 - **15.** A l'aide des principes de la thermodynamique, établir l'expression de l'efficacité maximale, au choix du colleur, d'un moteur cyclique, d'un réfrigérateur ou d'une pompe à chaleur ditherme en fonction des températures des sources chaude et froide, ainsi que les conditions dans lesquelles elle est atteinte.
 - **16.** Rappeler les principales caractéristiques des machines thermiques dithermes : forme du 1^{er} principe sur un cycle, signes des différents échanges d'énergie, efficacité, efficacité de Carnot (conditions d'obtention ?)

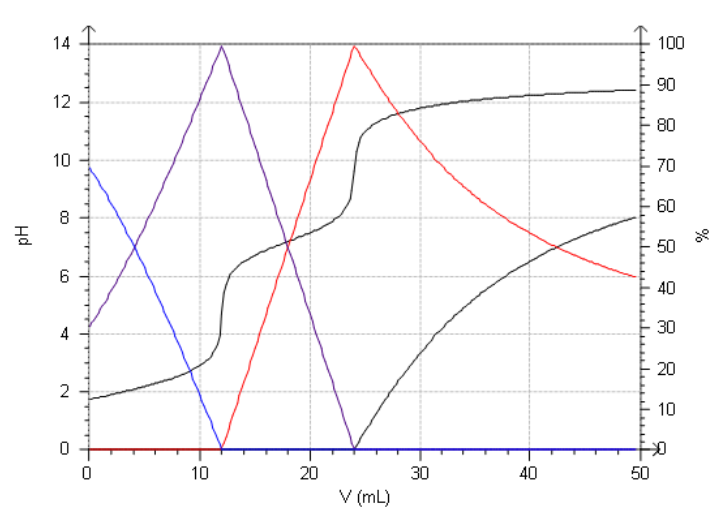
17. La courbe ci-contre correspond au titrage avec suivi pH-métrique d'un volume $V_0=100~\mathrm{mL}$ d'une solution d'acide éthanoïque $\mathrm{CH_3COOH}$ de concentration c_a par de la soude à la concentration $c=0.1~\mathrm{mol.\,L^{-1}}$.

Donnée: $pKa(CH_3COOH/CH_3COO^-) = 4.8$

- a. Ecrire l'équation-bilan de la réaction de titrage et calculer sa constante d'équilibre. Quel est le critère pour pouvoir la considérer comme quantitative ?
- b. Déterminer la concentration c_a de l'acide éthanoïque.
- Indiquer les caractéristiques des indicateurs colorés acido-basiques susceptibles d'être utilisés pour un suivi colorimétrique de ce dosage.
- **18.** ** Titrage d'un polyacides : Etablir les expressions aux équivalences pour les titrages suivants faits par la soude NaOH à la concentration $c=0.1~{\rm mol.L^{-1}}$:
- a) titrage d'un volume $V_a=20~\mathrm{mL}$ d'acide phosphorique H $_3$ PO $_4$ à la concentration c_a (polyacide de







 $pK_{A1} = 2.1$; $pK_{A2} = 7.2$; $pK_{A3} = 12.4$).

b) titrage d'un volume $V_a=20~\mathrm{mL}$ d'acide citrique à la concentration c_a (polyacide de p $K_{A1}=3.2$; p $K_{A2}=4.7$; p $K_{A3}=6.4$)

Questions de cours avec éléments de réponse

1. PETABLIT l'équation locale de conservation de la charge dans le cas à une dimension cartésienne.

Système : tranche de section S et d'épaisseur dx

Bilan de charges (grandeur conservative) : $d^2Q = \delta^2 q_{\acute{e}chang\acute{e}e}$

 $\delta Q(t)$ à l'instant t: $\delta Q(t) = \rho(x,t)d\tau = \rho(x,t) S dx$

 $\delta Q(t+dt)$ à l'instant t+dt: $\delta Q(t+dt) = \rho(x,t+dt) S dx$

Expression de la variation de charge $d^2Q = \delta Q(t+dt) - \delta Q(t) = \left(\rho(x,t+dt) - \rho(x,t)\right)S dx = \left(\frac{\partial \rho}{\partial t}\right)_x dt S dx$

Expression de la charge échangée :

$$\delta^{2}q_{\acute{e}chang\acute{e}e} = \delta q_{entrant} - \delta q_{sortant} = (i(x,t) - i(x+dx,t)) dt = -\left(\frac{\partial i}{\partial x}\right)_{t} dx dt$$

Vecteur densité de courant \vec{j} uniforme sur une section de conducteur : $\vec{j} = \vec{j}(x,t) = j_x(x,t)$ \vec{e}_x

Intensité traversant une section du conducteur : $i(x,t) = \iint_{\Sigma} \vec{j} \cdot d\vec{S} = j_x(x,t)S$ **D'où** $\left(\frac{\partial i}{\partial x}\right)_t dx = \left(\frac{\partial j_x}{\partial x}\right)_t S dx$

Finalement $\delta^2 q_{\acute{e}chang\acute{e}e} = -\left(\frac{\partial i}{\partial x}\right)_t dx dt = -\left(\frac{\partial j_x}{\partial x}\right)_t S dx dt$

En identifiant les deux expressions obtenues : $S dx \left(\frac{\partial \rho}{\partial t}\right)_x dt = -\left(\frac{\partial j_x}{\partial x}\right)_t S dx dt \iff \left(\frac{\partial \rho}{\partial t}\right)_x + \left(\frac{\partial j_x}{\partial x}\right)_t = 0$

Généralisation : $\frac{\partial \rho}{\partial t} + div(\vec{j}) = 0$

2. Dans le cadre du modèle de Drüde, les charges libres de masse m, de charge q, peuvent se mouvoir dans le conducteur sous l'action du champ \vec{E} en subissant une force de type frottement fluide $\vec{f} = -\frac{m}{\tau} \vec{v}$. Etablir l'équation différentielle vérifiée par la vitesse \vec{v} de l'électron moyen. En régime permanent, tous les porteurs de charge ayant la même vitesse \vec{v}_{lim} , avec une densité n de porteurs, établir la loi d'Ohm locale et indiquer l'expression de la conductivité du matériau.

PFD:
$$m\vec{a} = q\vec{E} - \frac{m}{\tau} \vec{v}$$
 soit $\frac{d\vec{v}}{dt} + \frac{\vec{v}}{\tau} = \frac{q}{m}\vec{E}$

En régime permanent, $\frac{d\vec{v}}{dt} = 0$ soit $\vec{v}(t \to \infty) = \boxed{\frac{q\tau}{m}\vec{E} = \overrightarrow{v_{\ell tm}}}$

Charge traversant \overrightarrow{dS} pendant $dt: d^2q = nq\overrightarrow{v_{\ell lm}}.dt.\overrightarrow{dS}.$

intensité traversant \overrightarrow{dS} : $dI = \frac{d^2q}{dt} = nq\overrightarrow{v_{\ell\iota m}}.\overrightarrow{dS} = \overrightarrow{J}.\overrightarrow{dS}$ soit

$$\vec{j} = nq\overrightarrow{v_{\ell \iota m}} = nq\frac{q\tau}{m}\vec{E} = ne^2\frac{\tau}{m}\vec{E} = \vec{j}$$

Le vecteur densité de courant est proportionnel au champ électrique (loi d'Ohm locale) : $\vec{J} = \gamma \vec{E}$ $\Rightarrow \gamma = \frac{nq^2\tau}{m}$

3. Dans le cadre du modèle de Drüde, les charges libres de masse m, de charge q, peuvent se mouvoir dans le conducteur sous l'action du champ \vec{E} en subissant une force de type frottement fluide $\vec{f}=-\frac{m}{\tau}\,\vec{v}$. Dans le cas d'un champ électrique sinusoïdal imposant un régime sinusoïdal forcé, On applique au métal un champ électrique alternatif de pulsation $\omega=2\pi f$ de la forme $\vec{E}=\vec{E}_0e^{j(\omega t+\varphi)}$ et on étudie la conduction électrique qui en résulte en régime sinusoïdal forcé établi. Etablir l'expression de la vitesse \vec{v} de l'électron moyen puis celle de la conductivité complexe, et déterminer le domaine de fréquences pour lequel on peut approximer la conductivité complexe par la conductivité statique.

On part de l'équation différentielle du mouvement que l'on écrit en notation complexe

$$m\frac{d\vec{v}}{dt} = -\lambda \underline{\vec{v}} - e\underline{\vec{E}}$$

$$mj\omega \vec{v} = -\lambda \vec{v} - e\vec{E}$$

Expression de la vitesse :

$$\vec{\underline{v}} = \frac{-e\vec{\underline{E}}}{mj\omega + \lambda} = \frac{-e\vec{\underline{E}}}{jm\omega + m/\tau} = \frac{-\frac{e\tau}{m}\vec{\underline{E}}}{1 + j\omega\tau}$$

Expression du vecteur \vec{j} :

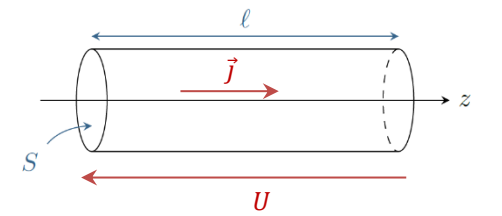
$$\underline{\vec{J}} = n_e q \underline{\vec{v}} = -n_e e \underline{\vec{v}} = \underbrace{\frac{n_e \frac{e^2 \tau}{m}}{1 + j\omega \tau}}_{\gamma(\omega)} \underline{\vec{E}} = \underbrace{\frac{1}{1 + j\omega \tau}}_{\substack{loi \ d'Ohm \\ locale}} \underline{\gamma}(\omega) \underline{\vec{E}}$$

Conductivité complexe γ

$$\underline{\gamma}(\omega) = \frac{\frac{n_e e^2 \tau}{m}}{1 + i\omega \tau} = \frac{\gamma(\omega = 0)}{1 + i\omega \tau} = \frac{\gamma(r \text{\'e} gime\ continu)}{1 + i\omega \tau}$$

On peut approximer la conductivité du métal par sa valeur statique jusqu'à des fréquences de l'ordre de ${1\over au}$ \sim 10^{12} Hz :

4. Considérons un conducteur ohmique cylindrique de section S et de longueur ℓ , de conductivité électrique γ , parcouru par un courant d'intensité i selon l'axe (Oz) du cylindre, associé à une densité volumique de courant électrique $\vec{j}=j\vec{e}_z$ uniforme dans l'ensemble du conducteur. On définit la tension U en convention récepteur, soit $U=V(z=0)-V(z=\ell)$.



- d) **V**Établir l'expression de la résistance du conducteur en fonction de ses caractéristiques.
- e) Rappeler dans le cas général l'expression de la puissance volumique électromagnétique reçue par les porteurs de charge ; en déduire l'expression de la puissance volumique d'effet Joule dans le cas d'un conducteur ohmique.
- f) **Retrouver la puissance totale reçue par le conducteur cylindrique étudié ci-dessus.

Loi d'ohm locale : $\vec{j}(z) = \gamma \vec{E}$ donc $\vec{j}(z) = j(z)$ $\overrightarrow{u_z}$; $I = \iint \vec{j} \cdot \vec{dS} = \iint j \cdot dS = j(z)S = \gamma E(z)S$;

Or $dV = -\vec{E} \cdot d\overrightarrow{OM}$ avec

$$U = \int_{V_2}^{V_1} dV = V_1 - V_2 = \Delta V = -\int_{M_2}^{M_1} \vec{E} . d\vec{OM} = +\int_{M_1}^{M_2} \vec{E} . d\vec{OM} = EL$$

loi d'Ohm globale : $R = \frac{U}{I} = \frac{EL}{\gamma ES} = \frac{L}{\gamma S}$

puissance volumique électromagnétique reçue par les porteurs de charge :

$$p = \frac{\delta P}{d e_f} = \vec{J} \cdot \vec{E}$$

Dans les milieux ohmiques, afin de maintenir le courant dans le conducteur, le champ électrique \vec{E} doit fournir de l'énergie aux charges pour compenser les pertes dues aux forces de friction.

D'après la loi d'Ohm locale : $\vec{j} = \gamma \vec{E}$ (hypothèse ARQS)

$$p_{Joule} = \frac{\delta P}{d\tau} = \vec{\jmath}.\vec{E} = \frac{\|\vec{\jmath}\|^2}{\gamma} = \gamma \|\vec{E}\|^2 > 0$$

$$P = \iiint \vec{J} \cdot \vec{E} \ d\tau = \vec{J} \cdot \vec{E} \cdot \mathcal{V} = jE \cdot \mathcal{V} = \frac{I}{S} \frac{U_{AB}}{\ell} \mathcal{V} = \frac{I}{S} \frac{U_{AB}}{\ell} S \ell = I \cdot U_{AB} = RI^2$$

- 5. On souhaite réaliser un filtrage numérique analogue à celui réalisé par un filtre de fonction de transfert $\underline{H} = \frac{1}{1+j\frac{\omega}{\omega_0}}$ la manière la moins coûteuse en temps étant d'exploiter directement dans le domaine temporel l'équation différentielle associée.
- a) \bigvee Décrire le schéma d'Euler explicite nécessaire et le traduire en relation de récurrence. On prendra la période d'échantillonnage T_e comme pas de temps.
- b) Décrire le schéma d'Euler implicite nécessaire et le traduire en relation de récurrence. On prendra la période d'échantillonnage T_e comme pas de temps.

$$\underline{H} = \frac{1}{1+j\frac{\omega}{\omega_0}} = \frac{\underline{s}}{\underline{e}} \text{ soit } \underline{s} \left(1+j\frac{\omega}{\omega_0}\right) = \underline{e}$$

Dans le domaine temporel : $s(t) + \frac{1}{\omega_0} \frac{ds}{dt} = e(t)$

Schéma explicite : on approxime la dérivée $\frac{ds}{dt}$ par $\frac{s_{n+1}-s_n}{T_e}$, les autres grandeurs étant considérées au pas de temps n, d'où

$$s_n + \frac{1}{\omega_0} \frac{s_{n+1} - s_n}{T_e} = e_n$$

En posant $a = \omega_0 T_e$

$$s_n + \frac{s_{n+1} - s_n}{a} = e_n \qquad \Leftrightarrow \quad as_n + s_{n+1} - s_n = ae_n$$

$$s_{n+1} = ae_n + (1-a)s_n$$

Schéma implicite : on approxime la dérivée $\frac{ds}{dt}$ par $\frac{s_{n+1}-s_n}{T_e}$, les autres grandeurs étant considérées au pas de temps n+1, d'où

$$s_{n+1} + \frac{1}{\omega_0} \frac{s_{n+1} - s_n}{T_c} = e_{n+1}$$

En posant $a = \omega_0 T_e$

$$s_{n+1} + \frac{s_{n+1} - s_n}{a} = e_{n+1} \qquad \Longleftrightarrow \qquad (a+1)s_{n+1} - s_n = ae_{n+1}$$
$$s_{n+1} = \frac{a}{a+1}e_{n+1} + \frac{1}{a+1}s_n$$

6. On étudie une fonction continue et monotone f(x) qui s'annule une seule fois sur un intervalle [a;b]. Expliquer le principe de l'algorithme de recherche par dichotomie du zéro de cette fonction (valeur x_0 telle $f(x_0) = 0$) et proposer le code en python.

On définit des valeurs pour a, b correspondant aux bornes de l'intervalle de recherche, ainsi que celle d' ε = précision recherchée.

Tant que $|a-b| > \varepsilon$, on réalise la boucle suivante :

On définit le milieux de l'intervalle : $m = \frac{a+b}{2}$

 \rightarrow Si $f(a) \times f(m) < 0$, la solution appartient à [a, m]

nouvel intervalle de recherche : a = a et b = m (on réaffecte $b \leftarrow m$)

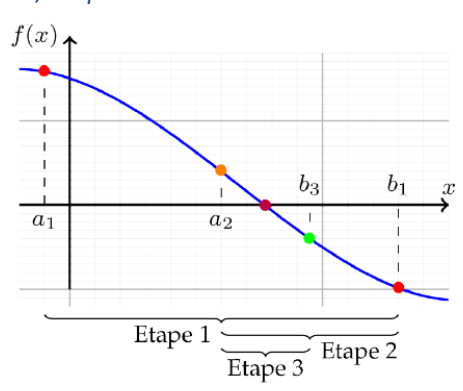
 \rightarrow sinon : $f(a) \times f(m) > 0$, la solution appartient à [m, b].

nouvel intervalle de recherche : $a = m (a \leftarrow m)$ et b = b.

La boucle se poursuit tant que m n'est pas suffisamment proche de la valeur recherchée, soit tant que

Lorsqu'on sort de la boucle, le zéro est donné par la valeur de m, à ε près.

def dicho(f,a,b,eps):
 g,d=a,b
 m=(a+b)/2
 while b-a>2×eps:
 if f(g)*f(m)>0:
 g=m
 else:
 d=m
 m=(a+b)/2
 return m



- 7. ** Propriétés d'un conducteur électrostatique à l'équilibre.
- **8.** \biguplus Etablir l'expression de la capacité d'un condensateur plan idéal constitué de deux plaques conductrices de surface S, séparées d'une distance $e \ll S$ (l'expression du champ créé par un plan infini sera rappelée si besoin).

La plaque chargée positivement est prise comme origine de l'axe (0z) avec la seconde plaque en z=e, avec $U=V_A-V_B=V(z=0)-V(z=e)$.

champ créé par un plan infini situé en z=0 et chargé avec une densité surfacique σ ; avec $Q_{int}=\sigma$. S

$$z>0: \; \vec{E}=\frac{\sigma}{2\;\varepsilon_0}\overrightarrow{u_z} \qquad \quad et \qquad \quad z<0: \; \vec{E}=-\;\frac{\sigma}{2\;\varepsilon_0}\overrightarrow{u_z}$$

D'après ce qui précède :

Champ crée par l'armature 1 :

$$\overrightarrow{E_1} = \begin{vmatrix} \sigma & \overrightarrow{u_z} & si \ z > 0 \\ -\frac{\sigma}{2 \ \varepsilon_0} \ \overrightarrow{u_z} & si \ z < 0 \end{vmatrix}$$

Champ crée par l'armature 2 :

$$\overrightarrow{E_2} = \begin{vmatrix} -\frac{\sigma}{2\,\varepsilon_0} \, \overrightarrow{u_z} & \text{si } z > e \\ \frac{\sigma}{2\,\varepsilon_0} \, \overrightarrow{u_z} & \text{si } z < e \end{vmatrix}$$

Principe de superposition : $\vec{E} = \overrightarrow{E_1} + \overrightarrow{E_2}$

$$\vec{E} = \begin{vmatrix} \vec{0} & \text{si } z > e \text{ ou } z < 0 \\ \frac{\sigma}{\varepsilon_0} \ \overrightarrow{u_z} & \text{si } 0 < z < e \end{vmatrix}$$

Détermination de U :

$$U = V_A - V_B = \int_B^A dV = \int_B^A -\vec{E} \cdot d\vec{M} = \int_A^B \vec{E} \cdot d\vec{M} = \int_A^B \frac{\sigma}{\varepsilon_0} \vec{e}_z \cdot d\vec{M} = \int_A^B \frac{\sigma}{\varepsilon_0} dz = \frac{\sigma}{\varepsilon_0} \int_A^B dz$$
$$U = V_A - V_B = \frac{\sigma}{\varepsilon_0} e$$

La capacité C est définie par :

$$C = \frac{Q}{D}$$

(attention au signe ! la charge Q est celle vers laquelle pointe la flèche de la tension)

On a donc:
$$C = \frac{Q}{U} = \frac{\sigma S \, \varepsilon_0}{\sigma \, e} = \frac{\varepsilon_0 \, S}{e} \, avec \, S = \pi a^2$$

9. **Etablir l'expression de la capacité d'un condensateur plan par une méthode énergétique.

$$W_C = \frac{1}{2}Cu^2$$

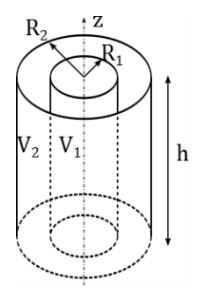
$$avec \ \vec{E} = \overrightarrow{E_0} = \overrightarrow{cte} \ entre \ les \ armatures, \ soit \ \|\overrightarrow{E_0}\| = \|-\overrightarrow{\operatorname{grad}}(V)\| = \left|\frac{dV}{dz}\right| = \frac{u}{e} d'où \ u = E_0 e \ et$$

$$W_C = \frac{1}{2}Cu^2 = \frac{1}{2}CE_0^2 e^2$$

$$Or W_C = \mathcal{E}_{\acute{e}l} = \iiint_{tout} \sup_{tespace} \det \tau = \iiint_{tespace} \frac{1}{2} \varepsilon_0 E(M)^2 d\tau = \iiint_{tespace} \sup_{tespace} \frac{1}{2} \varepsilon_0 E_0^2 d\tau = \frac{1}{2} \varepsilon_0 E_0^2 Se$$

Par identification:
$$W_C = \frac{1}{2}CE_0^2 e^2 = \frac{1}{2}\varepsilon_0 E_0^2 Se$$
 soit $C = \varepsilon_0 \frac{S}{e}$

10. Un condensateur cylindrique idéal est constitué de deux cylindres concentriques conducteurs, de rayons R_1 et $R_2 > R_1$, et de hauteur h supposée infinie (très grande devant les rayons). L'armature interne porte une charge Q répartie sur la surface du cylindre de rayon R_1 , tandis que l'armature externe porte une charge Q répartie sur la surface du cylindre de rayon R_2 .



Etablir l'expression de la capacité puis de la capacité linéique d'un tel condensateur cylindrique.

Système de coordonnées cylindriques

En supposant le condensateur de hauteur infinie (on néglige les effets de bord), il y a invariance par rotation de θ et translation de z de la distribution de charges $\mathcal D$ donc de $\vec E$. De plus, pour un point M quelconque situé entre les armatures, les plans $\pi_1(M;\vec e_r;\vec e_\theta)$ et $\pi_2(M;\vec e_r;\vec e_z)$ sont plans de symétrie de $\mathcal D$ donc de $\vec E$, donc $\vec E \in \pi_1 \cap \pi_2 = (M;\vec e_r)$, soit $\vec E = \mathrm{E}(r)\vec e_r$.

Surface de Gauss : Cylindre d'axe (Oz), de rayon r (passant par M), de hauteur h la hauteur totale du cylindre.

Application du théorème de Gauss :

$$\Phi = \iint_{P \in \Sigma_C} \vec{E}(P) . \, d\vec{S}(P) = \frac{Q_{int}}{\varepsilon_0}$$

$$\Phi = \iint_{P \in \Sigma_G} \vec{E}(P) . \overrightarrow{dS}(P) = E(r) . 2\pi r h$$

Pour r compris entre R_1 et R_2 (entre les armatures), $Q_{int}=Q_1$

Soit:
$$E(r) = \frac{Q_1}{\varepsilon_0 \times 2\pi rh}$$
 et $\vec{E} = \frac{Q_1}{2\pi \varepsilon_0 rh} \vec{e}_r$ entre les armatures

Différence de potentiel entre les armatures :

$$V_{1} - V_{2} = \int_{2}^{1} dV = \int_{2}^{1} -\vec{E} \cdot dO\vec{M} = \int_{1}^{2} \vec{E} \cdot dO\vec{M} = \int_{1}^{2} \frac{Q_{1}}{2\pi\epsilon_{0}rh} \vec{e}_{r} \cdot d\overrightarrow{OM} = \int_{R_{1}}^{R_{2}} \frac{Q_{1}}{2\pi\epsilon_{0}rh} dr = \frac{Q_{1}}{2\pi\epsilon_{0}h} \int_{R_{1}}^{R_{2}} \frac{dr}{r} dr = \frac{Q_{1}}{2\pi\epsilon_{0}h} \int_{R_{1}}^{R$$

$$V_1 - V_2 = \frac{Q_1}{2\pi\varepsilon_0 h} \ln\left(\frac{R_2}{R_1}\right)$$

Calcul de la capacité : $C = \frac{Q_1}{V_1 - V_2} = \frac{Q_1}{\frac{Q_1}{2\pi\varepsilon_0 h} ln(\frac{R_2}{R_1})}$ soit

$$C = \frac{2\pi\varepsilon_0 h}{\ln\left(\frac{R_2}{R}\right)}$$

Validation : $[C] = [\varepsilon_0] L \text{ et } C > 0$

Capacité linéique ou capacité par unité de longueur $\Gamma = \frac{c}{h}$:

$$\Gamma = \frac{2\pi\varepsilon_0}{\ln\left(\frac{R_2}{R_1}\right)}$$

11. Rappeler les lois de Laplace et leurs hypothèses d'application. En déduire le travail W reçu au cours d'une compression d'un volume V_1 à un volume V_2 telle que les lois de Laplace s'appliquent (pression initiale P_1 connue).

Conditions d'application des lois de Laplace : transformation adiabatique réversible pour un gaz parfait (et rigoureusement : avec un coefficient isentropique constant, en l'absence de travail autre que le travail des forces de pression). : Lois de Laplace : $P_1V_1^{\gamma} = P_2V_2^{\gamma}$

$$\Delta U_{12} \underset{1er\ principe}{=} W_{12} + Q_{12}\ avec\ Q_{12} = 0\ car\ la\ transformation\ est\ adiabatique,\ et$$

$$\Delta U_{12} \underset{G.P.}{\overset{=}{=}} \frac{nR}{\gamma - 1} (T_2 - T_1) = \frac{P_2 V_2 - P_1 V_1}{\gamma - 1}$$

12. PEnoncer le second principe de la thermodynamique en détaillant les différents termes

Second principe de la thermodynamique : Pour tout système, on peut définir une entropie S>0 qui est une fonction d'état extensive et non conservative, indiquant l'importance du désordre / manque d'information telle que :

Bilans d'entropie (hors programme ATS) : $\Delta S = S_{\text{\'ech}} + S_{\text{cr\'e\'ee}}$

L'entropie S est une grandeur telle que l'entropie créée $S_{créée} \geq \mathbf{0}$, avec $S_{créée} = \mathbf{0}$ pour une transformation réversible

*S*_{créée} > **0** pour une transformation irréversible

Echanges d'entropie : ils ont lieu par le biais d'éventuels échanges de matière et/ou d'énergie thermique avec le milieu extérieur. Au cours d'une transformation quelconque pendant laquelle un système fermé reçoit des transferts thermiques Q_i de la part de thermostats (sources de chaleur) aux températures T_i , $S_{\acute{e}ch} = \sum_i \frac{Q_i}{T_i}$

Dimension et unité de l'entropie : J/K

13. Une masse m d'eau passe de l'état solide à -10° C à l'état liquide à $+10^{\circ}$ C sous une pression de 1 atm. Calculer pour cette évolution l'énergie thermique reçue par la masse d'eau.

Données:

Enthalpie de fusion de l'eau : $\Delta_{fus}h = 334 \, kJ.\, kg^{-1}$ à $0^{\circ}C$ sous 1 atm

Capacité thermique massique de l'eau liquide : $c_l = 4.2 \ kJ . K^{-1} . kg^{-1}$ Capacité thermique massique de l'eau solide : $c_s = 2.1 \ kJ . K^{-1} . kg^{-1}$

Transformation isobare en l'absence de travail autre que celui des forces de pression : $\Delta H = Q$

L'enthalpie étant une fonction d'état, on peut choisir un chemin fictif commode d'un point de vue théorique ; ici, on peut considérer les étapes suivantes :

Etape 1 : solide réchauffé de θ_i à θ_0 où $\theta_0=0^{\circ}C=\theta_{fus}$ température de fusion à pression atmosphérique ;

Etape 2 : solide totalement fondu à la température θ_0 ,

Etape 3 : liquide obtenu chauffé de θ_0 à θ_f soit :

$$\Delta H = m \left(c_s(\theta_0 - \theta_i) + l_f + c_l(\theta_f - \theta_0) \right) = Q$$

14. Un ballon d'eau chaude d'un volume de $10,0~\mathrm{m}^3$ contient $169~\mathrm{kg}$ d'eau sous $10,0~\mathrm{bar}$.

Extrait d'une table donnant les grandeurs massiques pour une vapeur d'eau saturante :

Vapeur d'eau saturante		
P = 10 bar		
θ = 179,86° <i>C</i>		

Volume massique		Enthalpie massique		
liquide	vapeur	liquide	vapeur	
$v_l ({\rm m}^3.{\rm kg}^{-1})$	$v_v ({\rm m}^3.{\rm kg}^{-1})$	h_l (kJ. kg ⁻¹)	h_v (kJ. kg ⁻¹)	
$1,127.10^{-3}$	0,1947	761,2	2772	

- c) Quel est l'état de l'eau ? On précisera sa pression et sa température, son titre en vapeur et son enthalpie totale.
 - d) Déterminer l'enthalpie de vaporisation de l'eau à $\theta=179,86^{\circ}C$ ainsi que la quantité de chaleur nécessaire pour obtenir de la vapeur juste sèche dans le ballon en restant à une pression de 10,0 bar.

15. 🎔 A l'aide des principes de la thermodynamique, établir l'expression de l'efficacité maximale, au choix du colleur, d'un moteur cyclique, d'un réfrigérateur ou d'une pompe à chaleur ditherme en fonction des températures des sources chaude et froide, ainsi que les conditions dans lesquelles elle est atteinte.

Exemple du moteur : Bilan issu du 1 er principe de la thermodynamique sur un cycle : $\Delta U_{cycle} = W + Q_{ch} + Q_{fr}$ (1) Cycle+ U fonction d'état

Bilan issu du 2^{nd} principe de la thermodynamique sur un cycle : $\Delta S = S_e + S_c$ 0 avec d'après le second principe, S fonction d'état

 $S_c \ge 0$, égalité pour une transformation réversible. Il s'agit d'un moteur ditherme, échanges de chaleur avec deux sources aux

températures T_{fr} et T_{ch} , d'où : $S_e = \frac{Q_{fr}}{T_{fr}} + \frac{Q_{ch}}{T_{ch}}$, soit $\frac{Q_{fr}}{T_{fr}} + \frac{Q_{ch}}{T_{ch}} \le 0$

(2) ; inégalité de Clausius.

 $\textit{Expression de l'efficacit\'e d'un moteur thermique}: \ \eta_{moteur} = \left| \frac{grandeur\ d'int\'er\^et}{grandeur\ de\ co\^ut} \right| = \frac{-W}{Q_{ch}}$

soit dans (3): $\eta_{moteur} = 1 + \frac{\varrho_{fr}}{\varrho_{ch}}$.

 $soit\ dans\ (3): \qquad \eta_{moteur} = 1$ $D'après\ (2): \qquad \frac{Q_{fr}}{Q_{ch}} \leq -\frac{T_{fr}}{T_{ch}}. \qquad soit \qquad : \eta_{moteur} = 1 + \frac{Q_{fr}}{Q_{ch}} \leq 1 - \frac{T_{fr}}{T_{ch}}$ ellipsi for the source for the sour

obtenue pour un fonctionnement réversible, correspondant à l'efficacité maximale pouvant être atteinte.

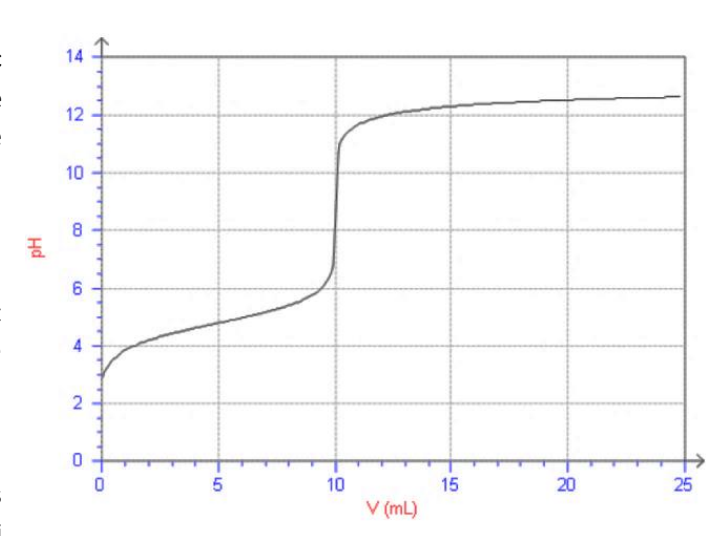
16. Compléter le tableau des principales caractéristiques des machines thermiques dithermes : forme du 1^{er} principe sur un cycle, signes des différents échanges d'énergie, efficacité, efficacité de Carnot (conditions d'obtention ?)

Machine cyclique ditherme	Moteur	Réfrigérateur	Pompe à chaleur		
Formes du premier principe sur un cycle pour les machines cycliques dithermes					
$ \Delta U_{cycle} = 0 = W + Q_c + Q_f \qquad \Leftrightarrow \qquad \mathcal{P}_{m\acute{e}ca} + \mathcal{P}_{th,c} + \mathcal{P}_{th,f} = 0 \\ \text{U fonction d'état} \qquad \qquad$					
Signe du travail reçu W reçu par le système	W < 0	W > 0	W > 0		
Signe de la quantité de chaleur Q_f reçue en provenance de la source froide	$Q_f < 0$	$Q_f > 0$	$Q_f > 0$		
Signe de la quantité de chaleur Q_c reçue en provenance de la source chaude	$Q_c > 0$	$Q_c < 0$	$Q_c < 0$		
Expression de l'efficacité expression toujours vérifiée	$e_m = r = \frac{-W}{Q_c}$ $= \frac{-\mathcal{P}_{m\acute{e}ca}}{\mathcal{P}_{th,c}}$	$e_{frig} = CoP_{frig} = \frac{Q_f}{W}$ $= \frac{\mathcal{P}_{th,f}}{\mathcal{P}_{m\acute{e}ca}}$	$e_{PAC} = CoP_{PAC} = -\frac{Q_c}{W}$ $= -\frac{\mathcal{P}_{th_i}}{\mathcal{P}_{m\acute{e}i}}$		
Efficacité de Carnot = efficacité théorique maximale vérifiée dans le cas d'un cycle réversible	$e_{mot,c} = r_{mot,c}$ $= 1 - \frac{T_f}{T_c}$	$e_{frig,max} = \frac{T_f}{T_c - T_f}$	$e_{PAC,max} = \frac{T_c}{T_c - T_f}$		

17. La courbe ci-contre correspond au titrage avec suivi pH-métrique d'un volume $V_0=100~\mathrm{mL}$ d'une solution d'acide éthanoïque $\mathrm{CH_3COOH}$ de concentration c_a par de la soude à la concentration $c=0.1~\mathrm{mol.\,L^{-1}}$.

Donnée: $pKa(CH_3COOH/CH_3COO^-) = 4.8$

- 1. Ecrire l'équation-bilan de la réaction de titrage et calculer sa constante d'équilibre. Quel est le critère pour pouvoir la considérer comme quantitative ?
- 2. Déterminer la concentration c_a de l'acide éthanoïque.
- 3. Indiquer les caractéristiques des indicateurs colorés acido-basiques susceptibles d'être utilisés pour un suivi colorimétrique de ce dosage.



$$CH_3COOH + HO^- = CH_3COO^- + H_2O$$

$$K^{\circ} = 10^{pK_{A,base} - pK_{A,acide}} = 10^{14 - pK_{A,acide}} = 10^{9,2} \gg 1$$

Réactions quantitatives pour $K^{\circ} > 4$ soit $pK_{A,acide} < 10$; Pour des acides trop faibles, la réaction de titrage par la soude n'est pas quasi-quantitative ; le dosage ne peut être effectué de cette manière-ci.

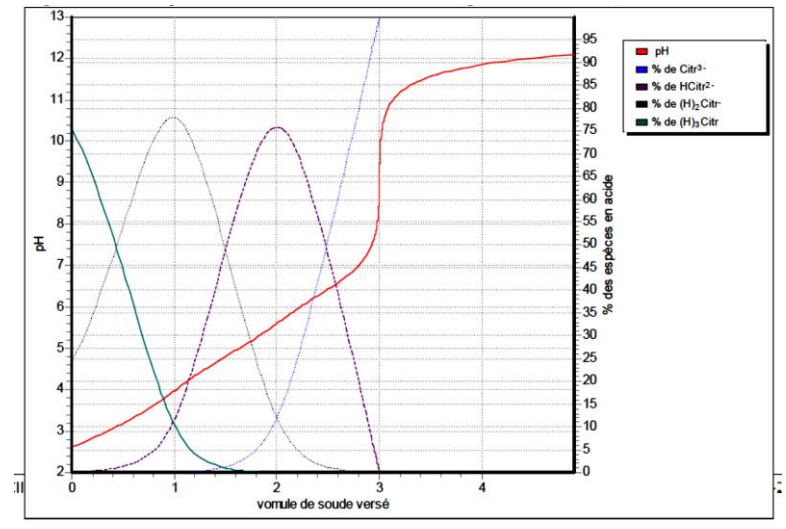
En mol	CH ₃ COOH	+ HO ⁻	= CH ₃ COO ⁻	+ H ₂ O
EI	$c_a V_0$	cV	0	excès
EF pour $V=V_{\operatorname{\acute{e}q}}$	$c_a V_0 - \xi_{\acute{e}q} \approx 0$	$cV_{\mathrm{\acute{e}q}} - \xi_{\mathrm{\acute{e}q}} \approx$	$0 \xi_{\acute{e}q} = cV_{\acute{e}q} = c_c$	$_{i}V_{0}$ excès

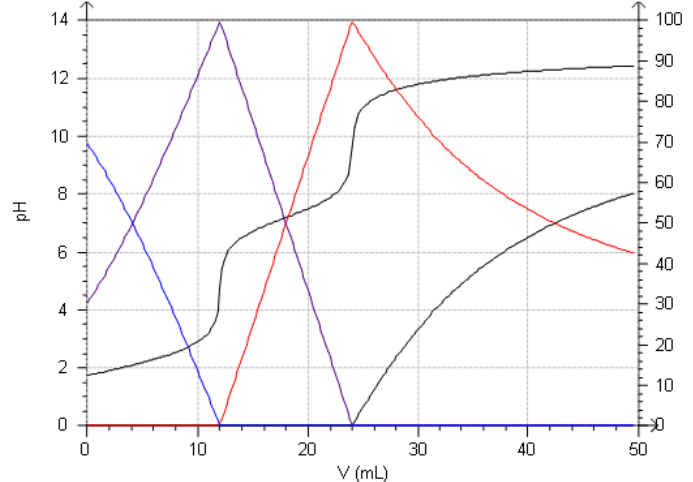
A l'équivalence,
$$c_a V_0 - \xi_{\acute{e}q} = c_b V_{\acute{e}q} - \xi_{\acute{e}q} = 0$$
 d'où $c_b V_{\acute{e}q} = c_a V_0$ \iff $c_a = \frac{c V_{\acute{e}q}}{V_0}$

En exploitant le saut de pH (ici, par lecture directe) : $V_{\rm \acute{e}q}=10~mL$. A.N. : $c_a=\frac{c}{10}=10^{-2}~mol/L$

L'indicateur coloré le mieux adapté doit avoir sa zone de virage centrée sur le pH à l'équivalence : $pH_{\acute{e}q}\approx 9$ et la zone de virage doit être comprise dans le saut de pH soit entre 7 et 10,5 unités pH

- **18.** ** Titrage d'un polyacides : Etablir les expressions aux équivalences pour les titrages suivants faits par la soude NaOH à la concentration $c=0.1 \, \mathrm{mol.L^{-1}}$:
- a) titrage d'un volume $V_a=20~\mathrm{mL}$ d'acide phosphorique $\mathrm{H_3PO_4}$ à la concentration c_a (polyacide de





$$pK_{A1} = 2.1$$
; $pK_{A2} = 7.2$; $pK_{A3} = 12.4$).

b) titrage d'un volume $V_a=20~\mathrm{mL}$ d'acide citrique à la concentration c_a (polyacide de p $K_{A1}=3.2$; p $K_{A2}=4.7$; p $K_{A3}=6.4$)

a) Trois réactions de titrage envisageables : H_3PO_4 , $H_2PO_4^-$ et HPO_4^2 par HO^- , de constantes d'équilibre respectives $K^{\circ}_1 = 10^{pK_{A,base}-pK_{A,acide}} = 10^{11,9}$; $K^{\circ}_2 = 10^{6,8}$; $K^{\circ}_3 = 10^{1,6}$

La troisième acidité est très faible, le dosage n'est donc pas quantitatif (critère de quantitativité pour le dosage d'un acide faible par une base forte : $pK_A > 10$).

Les deux autres acidités ont des pK_A très différents : $pK_{A2} - pK_{A1} = 5,1$: elles sont donc dosées successivement (critère de successivité : $\Delta pK_A > 3$ ou 4).

Relations aux équivalences :

Equivalence 1:
$$de\ V = 0\ \dot{a}\ V = V_{\acute{e}q1}$$
, titrage $de\ H_3PO_4$ $cV_{\acute{e}q1} = c_aV_A$

Equivalence 2:
$$de\ V=0\ \dot{a}\ V=V_{\acute{e}q2}$$
, titrage $de\ H_3PO_4$ et H_2PO_4 : $cV_{\acute{e}q2}=2c_aV_A$

Aussi : de
$$V=V_{\text{\'eq}1}$$
 à $V=V_{\text{\'eq}2}$, titrage de H_2PO_4 : $\boxed{c(V_{\text{\'eq}2}-V_{\text{\'eq}1})=c_aV_A}$

b) Il y a trois acidités caractérisées par les pK_{Ai} : 3,2; 4,7; 6,4, dosées simultanément : Cf. courbes de %, à la fin de l'unique saut de pH, il y a 100% de A^{3-} .

Le résultat aurait pu être prévu à l'aide des pK_A des couples : les trois pK_A sont inférieurs à 10 : réactions toutes quantitatives, mais les acidités sont très proches : $pK_{A2} - pK_{A1} = 1,5$, et $pK_{A3} - pK_{A2} = 1,7$, alors que le critère de successivité est $\Delta pK_A > 3$ ou 4

Equivalence : de V=0 à $V=V_{\rm \acute{e}q}$, dosage des trois acidités : $cV_{\rm \acute{e}q}=3c_aV_a$